

پایداری ژیروسکوپی حرکت غلتشی یک ربات کروی

مهمشی مکانیک شر夫، (پیز ۱۴۴۳) دوری ۳ - ۵، شماره ۲ / ۱۰ ص. ۱۱۵-۱۱۱

حسین کریم‌بور^{*} (استاد بار)

دانشکده هندسی مکانیک، دانشگاه آزاد اسلامی واحد خمینی شهر

مهدی کشمیری (دانشیار)

دانشکده هندسی مکانیک، دانشگاه صنعتی اصفهان

مجتبی محزوون (دانشیار)

دانشکده هندسی مکانیک، دانشگاه شیواز

در این مطالعه پایداری دورانی یک نمونه ربات کروی دارای حرکت غلتشی و مجهز به روتورهای داخلی بررسی و تحلیل می‌شود. بدین‌منظور ابتدا یک مطالعه اغتشاشی انجام می‌پذیرد تا شرایط رسیدن به آستانه نایابی‌پذیری برای حرکت غلتشی مشخص شود. با اینکه به نظریه فلوکه و قضیه‌ی هاپ، شرایط پایداری در حالت‌های غلتش پایا و توزیع جرم متقاضی محوری مورد مطالعه قرار می‌گیرد. با استخراج ثابت‌های حرکت حاکم بر این سیستم، معیاری برای پایداری و مطالعه‌ی دوشاخگی رفتار غلتشی در حالت کرده مجهز به چیز اینترسی داخلی تعیین می‌شود. همانند جسم معلم فضایی، این ربات در حین دوران حول محور اینترسی میانی تمایل به انحراف دارد. با تعییه‌ی یک پایدارکننده داخلی، ساختار اینترسی کره به صورت دینامیکی تغییر می‌یابد تا به سیستمی ذاتاً پایدار بدل شود. کنترل‌پذیری برگرفته از این سازوکار داخلی، طرح ریزی حرکت در فضای مفاصل روتورها را چنان ممکن می‌سازد که حرکت این ربات بر سطح شیب دار نیز امکان‌پذیر شود.

karimpour@iaukhsh.ac.ir
mehdik@cc.iut.ac.ir
mahzoon@shirazu.ac.ir

وازگان کلیدی: ربات کروی، تحلیل پایداری ژیروسکوپی، طرح ریزی حرکت.

۱. مقدمه

در قدم اول، این وسیله‌ی غیرمتعارف به صورت یک کره همگن در نظر گرفته می‌شود که نمونه‌ی ابتدایی است از یک سیستم دینامیکی با ماهیت غلتشی. هرگاه کره قدری از حالت همگون خارج شود یا توزیع اینترسی غیرهمسان‌گرد پیدا کند، رفتار پیچیده و غیر قابل انتظاری از خود بروز خواهد داد. یکی از این قبیل حرکت‌ها در حین چرخش پیچشی حول محور قائم رخ می‌دهد که با وجود شباخت ظاهری با مسئله‌ی فرفه، رفتاری متفاوت نشان می‌دهد. در راستای نیل تدریجی به رفتار کلی، سیستم‌های غلتشی ابتدا زیر دسته حرکت‌های پایا مورد بررسی قرار می‌گیرند. از جمله این حرکت‌ها می‌توان به چرخش حول محورهای اصلی جسم اشاره کرد که پایداری نسبی آنها را باید مورد بررسی قرار داد. اغلب پژوهش‌ها در این مورد بر فرفره یا توب در حال پیچش، که از توزیع جرم متقاضی محوری $I_2 = I_3$ برخوردارند یا ناهمگونی جزئی دارند، متذكر شده‌اند. فرفه‌ی کروی مثال جالب توجهی است که ابتدا به صورت سیستم دینامیکی با قید حرکتی توسط محققین مدل شد و متعاقباً معلوم گشت که اثرات استهلاکی روی پدیده‌ی پرش وارون این فرفه نقش اساسی بازی می‌کند. بنابراین باید غلتش توان با لغزش به صورت یک سازوکار هدردهنده‌ی انرژی وارد مدل شود.^[۱]

از طرف دیگر، معلوم می‌شود که سیستم مقید غلتشی دارای خواص مشابه همتای آزاد فضایی (ماهواره) است و از قوانین بقایی متعدد پیروی می‌کند. منحنی تحول سیستم در فضای فاز از تقاطع سطوح هم‌تاز ارزی و بقای اندازه حرکت قابل تعیین است. درمورد کره غلتان با توزیع جرم کلی، «انرژی» تنها کمیتی است که دارای

هدف مورد نظر این مقاله، توسعه‌ی روشی برای طرح ریزی حرکت یک ربات کروی است که اندرکنش و تبادل اندازه حرکت آن با محرك‌های داخلی اش (روتورهای تعییه‌شده در داخل) ربات را به حرکت وامی دارد. حرکت غلتشی این کره امکان حرکت پیوسته و هم‌سویه با کمترین استهلاک را در مسیرهای پیچیده فراهم می‌سازد. به دلیل تماس نقطه‌ی با محیط، انتقال مستقیم نیروی محركه به درجات آزادی حرکتی با محدودیت مواجه خواهد بود. برای القای حرکت از سازوکارهای مختلف -- سازوکارهایی نظری برهم زدن تعادل از طریق جایه‌جایی مرکز نقل، تبادل تکانی خطی و زاویه‌ی سیستم با اجزای داخلی شامل چرخ‌های اینترسی هرزگرد یا جرم‌های متجرک داخلی -- می‌توان بهره جست. بدین ترتیب، ترکیب قوانین بقا با قیود غلتش، تبدیل پخشی از انرژی دورانی داخلی به شکل انتقالی را ممکن می‌سازد؛ چنین راهکاری تا حدودی یادآور طرز کنترل سمت و جهت ماهواره‌ها در فضاست. سیستم محرکه و ساختار خاص بدنه‌ی این وسیله بالا از پایین رفتن از سطح شیب دار بدون خطر واژگونی را نیز ممکن می‌سازد. این ربات با تحرک پذیری منحصر به فرد و روان خود کاربردهای بسیاری دارد که گشت‌زنی و مراقبت از محوطه‌ها و راهروها از جمله‌ی آن‌هاست. کنترل این ربات کروی، به لحاظ طبیعت سینماتیکی و دینامیکی خاصی که دارد، از جمله مسائل چالش برانگیز است.^[۲]

* نویسنده مسئول

تاریخ: دریافت ۵/۸/۱۳۹۲، اصلاحیه ۱۶/۱۰/۱۳۹۲، پذیرش ۲۰/۱۱/۱۳۹۲.

۱.۲. حرکت فرفره‌یی کره ناهمگن و بدون خروج از مرکزیت

در این حالت که ابتدایی ترین حالت محسوب می‌شود، کره به صورت فرفره‌یی حول نقطه‌ی تماس خود چرخانده می‌شود و شرط پایداری مورد مطالعه قرار می‌گیرد. از صفر قرار دادن مشتق متغیرها در معادله‌ی ۲ معلوم می‌شود که وقتی محور دوران $\Omega = \Omega_0$ منطبق با یکی از محورهای اصلی باشد، حرکتی پایا حاصل می‌شود. همچنین اگر چرخشی درجا حول محور z گذرنده از نقطه‌ی تماس بخواهد رخ دهد، آنگاه:

$$\begin{aligned} \Omega_0 \times I\Omega_0 &= 0 \\ \Omega_0 \times \Gamma_0 &= 0 \end{aligned} \quad (3)$$

رابطه‌ی نخست نشان می‌دهد که Ω_0 بردار ویژه‌ی ماتریس اینرسی I محسوب می‌شود؛ این بدان معناست که چرخش پایا حول یک محور اصلی باید صورت گیرد. در ادامه، وضعیت تعادل نسبی حرکت حاصل از چرخش پایا حول یک محور اصلی در حالت قائم بررسی می‌شود. با این فرض که دوران کره حول یکی از محورهای اصلی در دستگاه جسم e_2 (یعنی $\sigma_{e_2} = \Omega_0$)، منطبق بر بردار یکه‌ی فضایی قائم بر صفحه‌ی حرکت ($R\Gamma = R\Gamma_0$) رخ دهد، خطی‌سازی معادلات اصلی حول این پاسخ پایای تعادلی (Ω_0, Γ_0) (برحسب متغیرهای انحراف از تعادل (Ω', Γ')):

$$\Omega' \triangleq \Omega - \sigma_{e_2}, \quad \Gamma' \triangleq \Gamma - e_2 \quad (4)$$

به معادلات مرتبه‌ی اول ۵ می‌انجامد:

$$\frac{d}{dt} \begin{Bmatrix} \Omega'_1 \\ \Omega'_2 \\ \Omega'_3 \\ \Gamma'_1 \\ \Gamma'_2 \\ \Gamma'_3 \end{Bmatrix} = \begin{Bmatrix} 0 & a_2\sigma/I'_1 & 0 & 0 & 0 & 0 \\ a_2\sigma/I'_1 & 0 & 0 & 0 & 0 & 0 \\ 0 & 0 & 0 & 0 & 0 & 0 \\ 0 & -1 & 0 & 0 & \sigma & 0 \\ 1 & 0 & 0 & -\sigma & 0 & 0 \\ 0 & 0 & 0 & 0 & 0 & 0 \end{Bmatrix} \begin{Bmatrix} \Omega'_1 \\ \Omega'_2 \\ \Omega'_3 \\ \Gamma'_1 \\ \Gamma'_2 \\ \Gamma'_3 \end{Bmatrix} \quad (5)$$

که در آن پارامترها چنین تعریف می‌شود:

$$a_1 = I_1 - I_2, \quad a_2 = I_2 - I_3$$

$$I'_1 = I_1 + mr^r, \quad I'_2 = I_2 + mr^r \quad (6)$$

معادله‌ی مشخصه‌ی مجموعه معادلات ۵ به صورت رابطه‌ی ۷ درمی‌آید:

$$p(\lambda) = \lambda^3 + \sigma^r(1 - \frac{a_1 a_2}{I'_1 I'_2})\lambda^2 - \frac{a_1 a_2}{I'_1 I'_2}\lambda^2 \quad (7)$$

که دارای ریشه‌های:

$$\lambda^r = 0, \quad \lambda^1 = -\sigma^r, \quad \lambda^2 = -\frac{a_1 a_2}{I'_1 I'_2} \sigma^r \quad (8)$$

است. اگر $I_2 < I_1 < I_3$ آنگاه یک مقدار ویژه با مقدار حقیقی مثبت حاصل می‌شود که حاکی از ناپایداری حرکت چرخشی حول محور اصلی میانی جسم است. طی شبیه‌سازی انجام گرفته، ناپایداری حرکت فرفره‌یی بروز می‌کند که مطابق شکل‌های ۱ و ۲ قابل بی‌گیری است. مشاهده می‌شود که کره دچار یک چرخش وارون کننده‌ی وضعیت به‌اندازه‌ی 180° درجه می‌شود و سپس به حرکت فرفره‌یی خود ادامه می‌دهد. این حرکت با همین روال متناوباً در طی زمان تکرار می‌شود.

بقا است. درمورد کره غیر بالانس با توزیع جرم متقاضن محوری، بر قراری دو قانون پایستگی دیگر میسر می‌شود.^[۲] از تقارن‌های موجود در سیستم برای آشکارسازی ثابت‌های حرکت و قوانین بقای حاکم بر سیستم استفاده می‌شود. تحلیل کامل رفتار دینامیکی و پایداری کره فرفره‌یی متقاضن محوری برحسب یکی از ثابت‌های حرکت، خروج از مرکزیت کره e/r و نسبت اینرسی I_2/I_1 قبل از انجام گرفته است.^[۱]

در اینجا نشان داده می‌شود که برای یک کره بدون خروج از مرکزیت ولی ناهمگون، تمايل به واژگونی و وارونگی به‌واسطه‌ی چرخش حول محور اصلی میانی اینرسی وجود دارد. مرحله‌ی بعد شامل مطالعه‌ی رفتار و پایداری سیستم کره غلتان دروضعیت‌های تعادل شبیه دینامیکی پایاست. پایدارسازی این حرکت‌ها با تعییه‌ی یک چرخ اینرسی داخلی مورد بررسی قرار می‌گیرد و در نهایت طرح ریزی حرکت به‌کمک این قبیل محرك‌های داخلی مورد مطالعه قرار می‌گیرد.^[۳]

۲. دینامیک کره غلتان و مشابهت آن با مسئله‌ی جسم معلق دور

دریابان معادلات سینماتیکی و دینامیکی کره غلتان از دو چارچوب اینرسی ($\vec{I}, \vec{J}, \vec{K}$) و متصصل به جسم ($\vec{i}, \vec{j}, \vec{k}$) با این‌ها (E_1, E_2, E_3) در چارچوب (e_1, e_2, e_3) درستگاه معادلات حاکم بر حرکت دورانی یک کره مقید به غلتش به عنوان یک سیستم دینامیکی با قیود غیرانتگرال پذیر با استفاده از قوانین نیوتون - اویلر مطابق رابطه‌ی ۱ به دست می‌آید:

$$\begin{aligned} \frac{d\vec{M}_c}{dt} &= 0 \Rightarrow \frac{DM_c}{dt} = \dot{M}_c + \Omega \times M_c = 0 \\ M_c &= I\Omega + mr^r\Gamma \times (\Omega \times \Gamma) \triangleq I(\Gamma)\Omega \end{aligned} \quad (1)$$

که در آن Γ و Ω به ترتیب بردارهای یکه‌ی عمود بر صفحه‌ی غلتش و سرعت زاویه‌یی کره در دستگاه جسم محسوب می‌شوند. M_c تکنه‌ی زاویه‌یی سیستم حول نقطه‌یی تماس است که در حین حرکت حفظ می‌شود. I ماتریس گشتاور اینرسی حول مرکز جرم و $I(\Gamma)$ اپراتوری ماتریسی است که اثر آن بر بردار سرعت زاویه‌یی Ω در رابطه‌ی ۱ تعریف شد. بسط معادله‌ی ۱ را می‌توان چنین نوشت:

$$\begin{cases} I(\Gamma)\dot{\Omega} + \Omega \times I\Omega = 0 \\ \dot{\Gamma} + \Omega \times \Gamma = 0 \end{cases} \quad (2)$$

مقایسه‌ی این معادله با دوران جسم آزاد معلق در فضا، نشان‌گر مشابهت ساختاری معادلات حاکم بر آنهاست. لذا می‌توان انتظار داشت که از جسم آزاد معلق در فضا و از یک کره مقید به غلتش محض رفتارهای مشابه بروز کند. از جمله‌ی این رفتارها می‌توان به پدیده‌ی ناپایداری دورانی ماهواره حول محور اصلی میانی (و همچنین حول محور اینرسی حداقلی درصورت وجود عامل هدردهنده ارزی همچون ارتعاش پل‌های خورشیدی یا آنتن‌ها) اشاره کرد. بازناسابی چنین تشابهاتی درمورد سیستم غلتشی می‌تواند زمینه‌های کاربرد فضایی آنها را فراهم سازد.^[۴]

در ادامه، با تکیه بر معادلات دینامیکی و شباهت ذکر شده، پایداری حرکت دورانی کره غلتان مجدهز یا فاقد دیسک‌های ژیرو پایدارکننده بررسی، و تحلیل‌هایی نوین از مطالعه‌ی پارامتری آن در اقسام حرکت‌های دورانی کره غلتان ارائه می‌شود.

حالتی خاص از حرکت کره را در نظر می‌گیریم که با تکانه‌ی زاویه‌ی در راستای قائم آغاز می‌شود. در این حالت:

$$\begin{aligned} \mathbb{2}T = \langle \omega, \pi \rangle &= \langle R\Omega, \pi_r e_r \rangle = \pi_r \langle \Omega, \Gamma \rangle \Rightarrow \frac{d \langle \Omega, \Gamma \rangle}{dt} = 0 \\ \Rightarrow \left\langle \frac{d\Omega}{dt}, \Gamma \right\rangle + \left\langle \Omega, \frac{d\Gamma}{dt} \right\rangle &= 0 \Rightarrow \left\langle \Omega, \frac{d\Gamma}{dt} \right\rangle = 0 \quad (10) \end{aligned}$$

به معادله‌ی حرکت شماره ۲ سیستم کره غلتان که فاقد هرگونه نیروی محرکه است بازمی‌گردیم:

$$I\dot{\Omega} + \Omega \times I\Omega = -mr^r\Gamma \times (\dot{\Omega} \times \Gamma) \quad (11)$$

با بسط طرف راست معادله‌ی فوق، آن را مطابق معادله‌ی ۱۰ باز هم ساده می‌کنیم:

$$\Gamma \times (\dot{\Omega} \times \Gamma) = \dot{\Omega} - \langle \Gamma, \dot{\Omega} \rangle \Gamma = \dot{\Omega} \quad (12)$$

بنابراین معادله‌ی ۱۱ چنین قابل بازنویسی است:

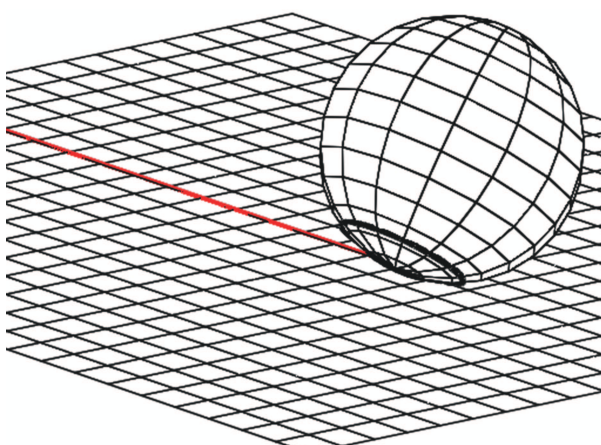
$$(I + mr^r Id)\dot{\Omega} + \Omega \times (I + mr^r Id)\Omega = 0 \quad (13)$$

که در آن Id ماتریس واحد است. با تعریف $\bar{I} \triangleq I + mr^r Id$ ، رابطه‌ی ۱۳ به صورت رابطه‌ی ۱۴ نوشته می‌شود:

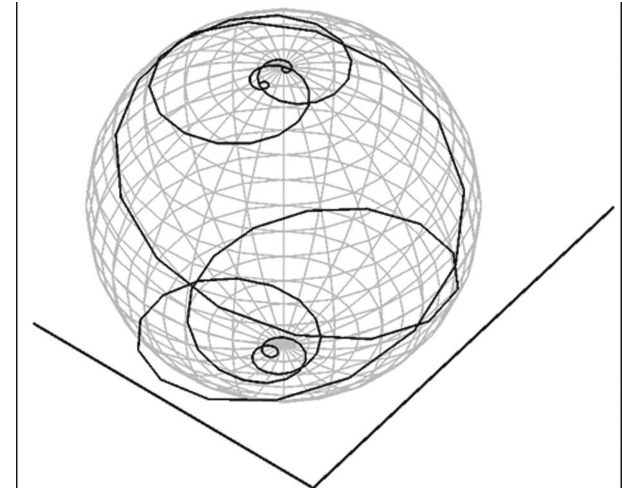
$$\bar{I}\dot{\Omega} + \Omega \times \bar{I}\Omega = 0 \quad (14)$$

معادله‌ی حاصل نشان می‌دهد که با اعمال تکانه‌ی زاویه‌ی اولیه در راستای قائم، حرکت پیش‌بینی شده کره غلتان شبیه جسمی است که آزادانه در فضا دوران می‌کند؛ در واقع مانند یک جسم صلب آزاد رفتار می‌کند که اینرسی آن به میزان افزایش یافته باشد. بنابراین محورهای اصلی ماتریس اینرسی حفظ می‌شوند و دوران حول آنها مطابق شکل ۳ پایاست.

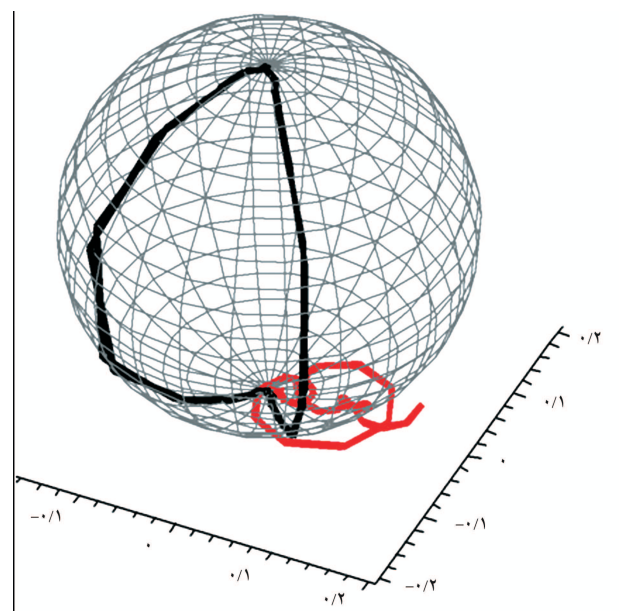
طبق قیاس مذکور، چرخش کره حول محور اصلی میانی اینرسی ناپایدار شناخته می‌شود. در واقع ناپایداری مذکور موجب می‌شود کره 180° درجه دوران کند تا در حالی که به چرخش خود ادامه می‌دهد وارونه شود (شکل ۴). این روند تکرار می‌شود تا کره به حالتی مشابه وضعیت اولیه‌اش بازگردد و مسیر نقطه‌ی تماس الگویی متناسب گیرد.



شکل ۳. حرکت پایایی کره بالاتس شده حول محور پایدار.



شکل ۱. مسیر فضایی نقطه‌ی اولیه‌ی تماس در حین حرکت فرفره‌ی حول محور میانی اینرسی.



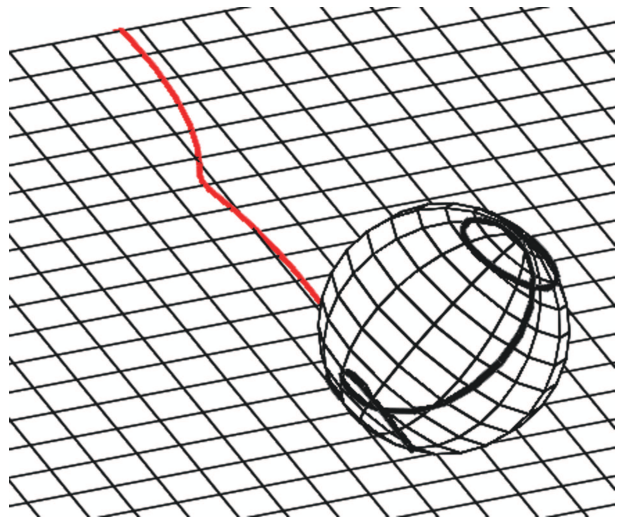
شکل ۲. رد نقطه‌ی تماس روی پوسته و کف در حین حرکت فرفره‌ی حول محور میانی اینرسی.

۲.۲. پایداری حرکت غلتی کره ناهمگن و متعادل

در این بخش، پایداری حرکت غلتی یک کره ناهمگن بدون خروج از مرکز در شرایط مختلف راهاندازی مورد بررسی و تحلیل پایداری قرار می‌گیرد. در این حرکت کمیت برداری M_c (تکانه‌ی زاویه‌ی حول نقطه‌ی تماس) و اسکالار انرژی جنبشی T ثابت می‌ماند:

$$M_c = \text{const} = \pi$$

$$\langle \omega, \pi \rangle = \text{const} = \mathbb{2}T \quad (9)$$



شکل ۴. حرکت چرخشی کره بالانتش شده حول محور ناپایدار.

که در آن:

$$\Delta = -[I_1 I_2 + mr^r (I_1 \cos^r \varphi + I_2 \sin^r \varphi)] \quad (21)$$

معادله‌ی حرکت خطی سازی شده حول وضعیت دوران پایا به صورت متغیر با زمان حاصل آمد. ضرایب این معادله از نوع توابع متناوب است که بهره‌گیری از قضیه‌ی فلکوه را برای بررسی پایداری ممکن می‌سازد. کافی است ابتدا با حل عددی معادله‌ی ۲۰ طی یک دوره تناوب بهارای تعدادی شرایط اولیه برابر با ستون‌های ماتریس واحد، ماتریس اساسی تشکیل شود. پایداری مجذوب یکنواخت سیستم از روی مقادیر ویژه‌ی این ماتریس قابل تغییر است، که به واسطه‌ی برقراری یک سری شرایط، این ویژگی به معادلات غیرخطی سرایت می‌کند. لازم به ذکر است که برخلاف سیستم‌های ثابت با زمان، ناپایداری مسئله‌ی از روی خطی سازی شده‌ی آن قابل دریافت نیست. اگر فرض شود که $I_1 = I_2$ ، معادلات دیگر متغیر با زمان نخواهند بود و مطابق رابطه‌ی ۲۲ ساده می‌شوند:

$$\begin{aligned} \frac{dp}{d\varphi} &= -q(1 + \frac{b}{2I_1(I_1 + mr^r)}), \\ \frac{dq}{d\varphi} &= p(1 + \frac{c}{2I_1(I_1 + mr^r)}). \end{aligned} \quad (22)$$

مقادیر ویژه در این حالت عبارت‌اند از:

$$\gamma = \pm \Omega_* i, \quad \Omega_* = \frac{I_2 - I_1 + mr^r}{I_1 - I_2 + mr^r} \quad (23)$$

از آنجا که موهومی شدن مقادیر ویژه نتیجه‌ی برای سیستم غیرخطی اصلی به بار نمی‌آورد، در ادامه از قضیه‌ی انشعاب هاپ کمک گرفته می‌شود. این قضیه به بروز یا حذف یک چرخه‌ی حدی به واسطه‌ی تغییر ماهیت نقاط تعادل سیستم با تنظیم پارامترها اشاره می‌کند.

قضیه‌ی انشعاب هاپ: هرگاه خطی سازی سیستم $\dot{x} = f(x, \mu)$ به ازای مقدار پارامتر $\mu = \mu_0$ دارای نقطه‌ی تعادل مرکزی شود و شرط $\frac{d}{d\mu} \text{Re}(\lambda_\mu)|_{\mu=\mu_0} \neq 0$ برقرار باشد، آنگاه سیستم غیرخطی اصلی به ازای $\mu \neq \mu_0$ دچار سیکل حد می‌شود. \square . برای بهره‌گیری از این قضیه، انحراف $I_2 = I_1 + 2\mu$ در فرض تقاضه محوری آورده می‌شود. از آنجا که با تقلیل این پارامتر به صفر نقطه‌ی تعادل سیستم خطی شده طبق رابطه‌ی قبل از نوع مرکزی می‌شود و با برآوردن سایر شرایط، قضیه‌ی هاپ نشان می‌دهد که این نقطه‌ی تعادلی مرکزی نظری یک چرخه‌ی حدی برای سیستم غیرخطی است. به عبارت دیگر چنانچه سیستم از حالت تعادلی چرخشی پایا مذکور اندکی خارج شود به سمت چرخه‌ی حدی می‌رود که در عمل مصادف با لنگ‌زدن کره حین حرکت غلتشی پایا با فرکانس نوسان Ω_* است (رابطه‌ی ۲۳).

۳. مطالعه‌ی دو شاخگی پایداری کره متقاضن محوری دارای ژیرو

مدارهای تعادل نسبی از جمله مسیرهای دینامیکی جالب توجه در تحول یک سیستم دینامیکی‌اند. یک وضعیت تعادل نسبی عبارت است از حرکت‌های پایا که در آن مؤلفه‌های سرعت در دستگاه متصل به جسم ثابت می‌مانند. برای مثال، در حرکت دورانی یک ماهواره حرکت پایا حول هر یک از محورهای اصلی آن یک وضعیت تعادل نسبی محسوب می‌شود. پایداری مسیرهای بسته (همچون وضعیت‌های تعادل

۳.۱. مطالعه اغتشاشی حرکت کره متوازن حول وضعیت پایا

در این بخش به چرخش پایای غلتشی کره پرداخته می‌شود و پایداری حرکت حول آن مورد بررسی قرار می‌گیرد. با شروع مجدد از معادلات کلی حرکت کره، حالت چرخش پایا تنها حول یکی از محورهای اصلی x می‌دهد و چنین فرض می‌شود:

$$\Omega_x = \Omega_* e_1, \quad \Gamma_x = \sin(\Omega_* t) e_2 + \cos(\Omega_* t) e_3 \quad (15)$$

حال یک انحراف کوچک از حالت چرخش پایا را در نظر می‌گیریم:

$$\Omega = \Omega_* + \Omega', \quad \Gamma = \Gamma_* + \Gamma' \quad (16)$$

با جایگزینی در معادلات اصلی و صرف نظر کردن از عبارات مرتبه دوم، خواهیم داشت:

$$I(\Gamma_*) \dot{\Omega}' + \Omega_* \times I\Omega' + \Omega' \times I\Omega_* = 0, \quad \dot{\Gamma}' + \Omega_* \times \Gamma' + \Omega' \times \Gamma_* = 0. \quad (17)$$

با تعریف $\Omega_* t \stackrel{\triangle}{=} \varphi$ بیان مؤلفه‌یی معادلات تبدیل می‌شود به:

$$\begin{aligned} (I_1 + mr^r) \dot{\Omega}'_1 &= 0 \Rightarrow \Omega'_1 = cte \\ (I_1 + mr^r \cos^r \varphi) \dot{\Omega}'_2 - \frac{mr^r}{2} \sin 2\varphi \dot{\Omega}'_3 + (I_1 - I_2) \Omega_* \Omega'_2 &= 0 \\ (I_1 + mr^r \sin^r \varphi) \dot{\Omega}'_3 - \frac{mr^r}{2} \sin 2\varphi \dot{\Omega}'_2 + (I_2 - I_1) \Omega_* \Omega'_3 &= 0. \end{aligned} \quad (18)$$

با تغییر متغیرهای وابسته و مستقل:

$$\begin{aligned} p &\stackrel{\triangle}{=} \Omega'_2 \cos \varphi + \Omega'_3 \sin \varphi \\ q &\stackrel{\triangle}{=} \Omega'_2 \sin \varphi - \Omega'_3 \cos \varphi \end{aligned} \quad (19)$$

معادلات حرکت چنین ساده می‌شوند:

$$\begin{aligned} \frac{dp}{d\varphi} &= -q + [a \sin 2\varphi p + (b + a \cos 2\varphi) q] / 2\Delta \\ \frac{dq}{d\varphi} &= p - [(c + e \cos 2\varphi) p + e \sin 2\varphi q] / 2\Delta \end{aligned} \quad (20)$$

اینرسی محوری ژیرو هستند. همچنین:
 نسبی، چرخه‌های حدی) در سیستم‌های دینامیکی دارای تقارن را می‌توان با تحلیل «انرژی پتانسیل مؤثر» سیستم مورد بررسی قرار داد. انرژی پتانسیل مؤثر بنا به تعریف عبارت است از: حداقل میران کل انرژی مکانیکی سیستم نسبت به متغیرهای شبه سرعت با رعایت مقادیر ثابت انتگرال‌های اول به دست آمده از تقارن.

برای انجام این تحلیل قضایایی که در ادامه می‌آیند مورد استفاده قرار می‌گیرند.
 ابتدا تعاریف مورد نیاز ارائه می‌شود:

$$X \triangleq \lambda_1(\lambda_2 - J_{rot}) + mr^r \left(\lambda_1 \left(1 - \Gamma_r(t) \right) + (\lambda_2 - J_{rot}) \left(\Gamma_r(t) - \frac{e}{r} \right)^r \right)$$

$$A(\Gamma) = \begin{bmatrix} & & & \circ \\ A_{11}(\Gamma) & & & \circ \\ & & & J_2 \\ \circ & \circ & J_2 & J_2 \end{bmatrix}$$

$$A_{11}() \triangleq J_{lock} - m\hat{s}\hat{s}, \quad s \triangleq -ee_r + r\Gamma \quad (28)$$

\hat{s} ماتریس پادمتقارن بردار s است.
 ثابت انتگرالی حرکت اول و دوم تعیین نتایج^[۲] به حالت یک کره مجهز به ژیرو است و ثابت سوم مربوط به ثابت بودن تکانه‌ی زاویه‌ی ژیرو در امتداد خودش و در غیاب گشتاور اعمالی است. ثابت چهارم هم مربوط به پایستگی انرژی است. شرط قضیه برای دست یافتن به مجموعه نقاط تعادل نسبی با معرفی ضرایب کمکی لاگرانژ μ_i , $i = 1 \dots 3$ برقرار می‌شود:

$$\frac{\partial}{\partial \left\{ \Omega \right\}} \{ E - \mu_1(\lambda_1\Omega_1\Gamma_1 + \lambda_2\Omega_2\Gamma_2 + (\lambda_2\Omega_2 + J_{rot}\Omega_{rot})) - \mu_2(\Gamma_2 - \frac{e}{r}) - \mu_3(\Omega_2 + \Omega_{rot}) \} - \mu_2(\Omega_2 + \Omega_{rot}) \} \quad (29)$$

که منجر به دستگاه معادلات ۳۰ می‌شود:

$$\frac{\partial}{\partial \left\{ \Omega \right\}} : \quad A(\Gamma) \begin{Bmatrix} \Omega \\ \Omega_{rot} \end{Bmatrix} + B(\Gamma)\mu = \circ$$

$$\frac{\partial}{\partial \mu} : \quad B^T(\Gamma) \begin{Bmatrix} \Omega \\ \Omega_{rot} \end{Bmatrix} - c = \circ \quad (30)$$

$$B(\Gamma) = \begin{bmatrix} \lambda_1\Gamma_1 & \circ & \circ \\ \lambda_2\Gamma_2 & \circ & \circ \\ \lambda_2(\Gamma_2 - \frac{e}{r}) & \sqrt{X}mr^rJ_r \int \frac{\Gamma_r - \frac{e}{r}}{\sqrt{X}} d\Gamma_r & 1 \\ J_r(\Gamma_2 - \frac{e}{r}) & mr^rJ_r \int \frac{\Gamma_r - \frac{e}{r}}{\sqrt{X}} d\Gamma_r & 1 \end{bmatrix} \quad (31)$$

با حل این دستگاه و انجام مقداری عملیات جبری، انرژی پتانسیل مؤثر تبدیل می‌شود:
 به:

$$E = mge\Gamma_2 + \frac{1}{2}c^T(B^TA^{-1}B)^{-1}c \equiv E(\Gamma_2 = \cos\theta) \quad (32)$$

طبق قضیه مطرح شده، شرط برقراری حرکت دورانی منظم و پایدار چنین بررسی می‌شود:

$$\frac{dE}{d\theta} \Big|_{\theta=\theta_{eq}} = \circ, \quad \frac{d^rE}{d\theta^r} \Big|_{\theta=\theta_{eq}} < \circ \quad or \quad > \circ \quad (33)$$

«انرژی پتانسیل مؤثر» سیستم مورد بررسی قرار داد. انرژی پتانسیل مؤثر بنا به تعریف عبارت است از: حداقل میران کل انرژی مکانیکی سیستم نسبت به متغیرهای شبه سرعت با رعایت مقادیر ثابت انتگرال‌های اول به دست آمده از تقارن.

برای انجام این تحلیل قضایایی که در ادامه می‌آیند مورد استفاده قرار می‌گیرند.
 ابتدا تعاریف مورد نیاز ارائه می‌شود:

سیستمی با معادله $\dot{x} = f(x)$ را در نظر بگیرید و فرض کنید که به تعداد $k+1$ انتگرال‌های اول مستقل همچون $U_1(x) = c_1, \dots, U_k(x) = c_k$, $U_{k+1}(x) = c$, $k < n-1$ از این معادله در دست باشد. در این صورت انتگرال اول $U_{k+1}(x)$ در مجموعه نقاط X بازای ثابت ماندن مقادیر سایر انتگرال‌های اول $U_i(x) = c$ است محسوب می‌شود، اگر X بزرگ‌ترین زیرمجموعه‌ی یک پارچه از مجموعه‌ی $\{x \in X : \delta |U_{k+1}|_{U=c} = \circ, \delta^2 |U_{k+1}|_{U=c} \neq \circ\}$ باشد. بدنبال این فرض، قضایایی مطرح می‌شوند:

قضیه ۱: هرگاه یکی از انتگرال‌های اول سیستم روی مجموعه X مقداری استا به خود اختصاص دهد آنگاه X یک مسیر بسته به حساب می‌آید.^[۷]

قضیه ۲: هرگاه یکی از انتگرال‌های اول سیستم (x) در مجموعه نقاط X_{c_0} مقدار کمینه (بیشینه) محلی بازای مقادیر ثابت سایر انتگرال‌های اول $U(x) = c$ را بگیرد آنگاه X_{c_0} یک مسیر بسته پایدار (نایپایدار) خواهد بود.^[۷] با بررسی معادلات کره غلتان متقارن محور تقارن (شکل ۵)، چهار انتگرال اول قابل شناسایی اند:

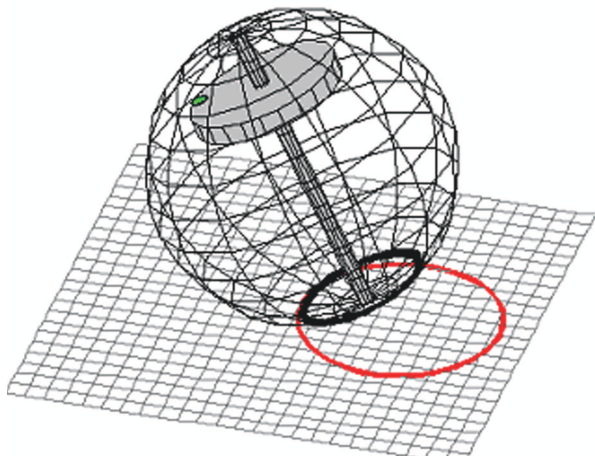
$$\lambda_1\Omega_1\Gamma_1 + \lambda_2\Omega_2\Gamma_2 + (\lambda_2\Omega_2 + J_{rot}\Omega_{rot})(\Gamma_2 - \frac{e}{r}) = c_1 \quad (24)$$

$$\Omega_2\sqrt{X} + mr^rJ_{rot}(\Omega_2 + \Omega_{rot}) \int \frac{1}{\sqrt{X}}(\Gamma_2 - \frac{e}{r}) d\Gamma_2 = c_2 \quad (25)$$

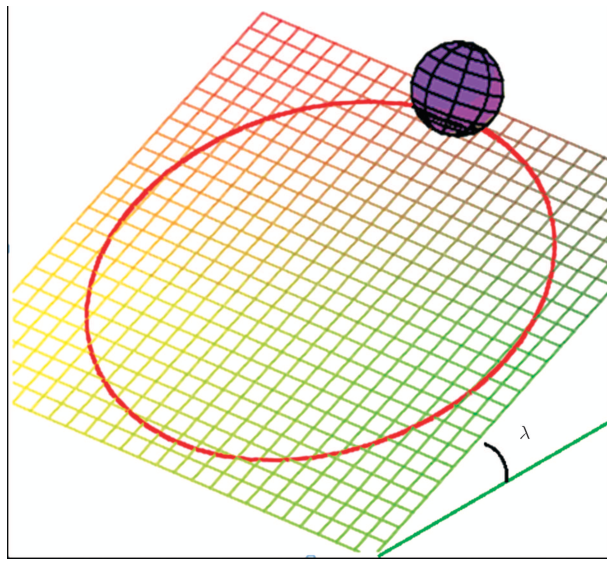
$$\Omega_2 + \Omega_{rot} = c_3 \quad (26)$$

$$E = \frac{1}{2} \begin{bmatrix} \Omega^T & \Omega_{rot} \end{bmatrix} A(\Gamma) \begin{bmatrix} \Omega \\ \Omega_{rot} \end{bmatrix} - mge\Gamma_2 \quad (27)$$

که در آن‌ها $\lambda_i, i = 1 \dots 3$ مقادیر ممان‌های اینرسی مجموعه‌ی قفل شده و J_{rot}



شکل ۵. کره غلتان متقارن با خروج از مرکزیت در یک وضعیت تعادل نسبی.



شکل ۷. کره غلتان در حال طی دایره روی صفحه‌ی شیب دار.

به زاویه‌ی λ (شکل ۷) مطابق رابطه‌ی ۲۶ استخراج می‌شود:

$$\frac{d\vec{M}_c}{dt} = -(mgr \sin \lambda) \vec{J} \\ M_c = J_{lock}\Omega + mr^r \Gamma \times (\Omega \times \Gamma) + J_{rot}\dot{\varphi} \quad (36)$$

در ادامه مشاهده خواهد شد که با اعمال قانون کنترالی سینماتیکی $\Omega_\phi = -K \cdot \Omega_\theta$ ، ممان‌های اینرسی سیستم به طور دینامیک دستخوش تغییر شده و امکان پایدارسازی حرکت فراهم می‌شود. هرگاه حرکت از شرایط اولیه‌ی سکون شروع شده باشد، ثابت‌های انتگرال‌گیری برابر صفرند و درنتیجه:

$$M_c = -(mgr \sin \lambda) t\gamma \quad (37)$$

که در آن γ بردار یکه جهت افقی بیان شده در دستگاه جسم است. از معادله‌ی ۳۷ به معادله‌ی ۸ می‌رسیم:

$$J_{lock}\Omega + mr^r \Gamma \times (\Omega \times \Gamma) + (mgr \sin \lambda) t\gamma = 0 \quad (38)$$

با تنظیم روتورها مطابق قانون $\dot{\varphi} = -(mgr \sin \lambda) t\gamma$ می‌توان انتظار خشی‌کردن اثر جاذبه را داشت و همچنان قدرت مانورپذیری روی سطح شیب دار را با $\dot{\varphi}$ همانند قبل حفظ کرد. با قرار دادن پس‌خواراند تابعی $\Omega_\phi = -K \cdot \Omega_\theta$ می‌شود:

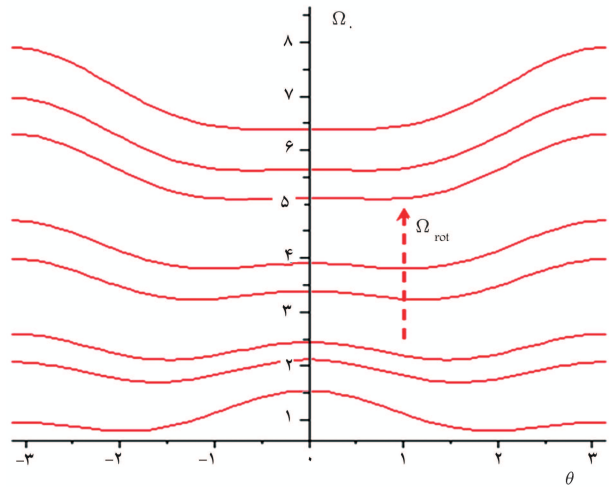
$$(J_{lock} - J_{rot}K_\phi) \Omega + mr^r \Gamma \times (\Omega \times \Gamma) = 0 \quad (39)$$

با انتخاب مناسب ضریب پس‌خواراند K_ϕ ماتریس اینرسی ظاهری سیستم $(J_{lock} - J_{rot}K_\phi)$ را می‌توان چنان طراحی کرد که دوران حول محوری با ممان اینرسی کمینه یا بیشینه بازسازی شود، و نتیجه‌ی آن تضمین حرکتی پایاست. با حل معادله‌ی ۴۰ برای K_ϕ :

$$J_{lock} - J_{rot}K_\phi = diag(I_1, I_2, I_3) \quad (40)$$

پارامترهای دلخواه اینرسی ظاهری لحاظ می‌شود:

$$I_1 < \min(I_1, I_2) \text{ or } I_1 > \max(I_1, I_2) \quad (41)$$



شکل ۶. نمودار سطوح انرژی بر حسب زاویه‌ی تمایل به‌ازای سرعت زاویه‌ی ژیرو مختلف Ω_{rot} .

حال حرکت پایابی که در حالت کلی به صورت وضعیت تعادل نسبی $\vec{\Omega} = \Omega_\phi \vec{k} + \omega_\phi \vec{K}$ می‌دهد (شکل ۵)، بررسی می‌شود:

$$\Omega_1 = \omega_\phi \Gamma_1$$

$$\Omega_2 = \omega_\phi \Gamma_2$$

$$\Omega_3 = \omega_\phi + \omega_\phi \cos \theta \quad (34)$$

با جایگزینی این حالت پایا در معادلات ۲۴ تا ۲۷، دستگاه معادلات ۳۵ برای ثابت‌های انتگرالی حاصل می‌شود:

$$c_1 = \lambda_1 \omega_\phi \sin^r \theta + [\lambda_2(\omega_\phi \cos \theta + \Omega_\phi) + J_{rot} \Omega_{rot}] (\cos \theta - \frac{e}{r}) \\ c_2 = (\omega_\phi \cos \theta + \Omega_\phi) \sqrt{X} + mr^r J_{rot} c_1 \int \frac{(\cos \theta - \frac{e}{r})}{\sqrt{X}} d(\cos \theta) \\ c_3 = \omega_\phi \cos \theta + \Omega_\phi + \Omega_{rot} \quad (35)$$

که در مورد کمیت‌های $(\omega_\phi, \Omega_\phi, \Omega_{rot})$ خطی محاسب و حل می‌شود. در این مرحله، عبارت انرژی مؤثر با جایگزینی کمیت‌های سینماتیکی بر حسب ثابت‌های حرکت حاصل از دستگاه معادلات ۳۵، تابعی به شکل ۶ نشان می‌دهد که به‌ازای سرعت زاویه‌ی پایدار مقداری کمینه این تابع بر حسب زاویه‌ی تمایل θ وضعیت‌های تعادل تیزی به‌اندازه‌ی کافی زیاد وضعیت دوران درجا (فرزه‌ی) را می‌توان وضعیتی پایدار محسوب کرد، اما با کاهش سرعت زاویه‌ی ژیرو، کره به زاویه‌ی معین مایل شده و مداری را به غلتش طی خواهد کرد (شکل ۵).

۴. پایدارسازی ژیروسکوپی حرکت کره روی سطح شیب دار

چنان که نشان داده شد، اگر چرخش حول محور میانی باشد، حرکت دورانی کره پایدار خواهد بود. برای پایدارسازی این حرکت از مجموعه چرخ‌های ژیرو داخلی بهره گرفته می‌شود. معادلات حرکت سیستم مجهر به ژیرو روی سطح شیب دار

در این صورت اختلاف انحنای دو مسیر صفر خواهد شد. بالاخره ممان ژیروسکوپی لازم برای ایجاد حرکت مطابق معادله‌ی ۴۶ به دست می‌آید:

$$J_{rot} \dot{\varphi} = -\dot{s} \left(J_{lock} + mr^* Id \right) (\Gamma'(s) \times \Gamma(s)) - \dot{s} (\kappa_p - \kappa_b) J_{lock} \Gamma(s) \quad (46)$$

با این فرض که کره به شعاع r مسیری دایره‌ی با شعاع r را روی یک سطح شیب دار طی کند و هم زمان منحنی نقش شده بر سطح کره، دایره‌ی به شعاع $r \leq r$ شود، معادله‌ی منحنی پارامتریزه روی کره برابر است با:

$$\Gamma(s) = \left(r \sin \frac{s}{r}, r \cos \frac{s}{r}, \sqrt{R^2 - r^2} \right) \quad (47)$$

انحنای ژودزیک مسیر برابر است با $r/r^* - r = \sqrt{r^* - r}$ و انحنای مسیر نقطه‌ی تماس روی زمین مقداری ثابت و برابر $1/\rho = \kappa_p$ است. نتیجه‌ی شبیه‌سازی در شکل ۷ مشاهده می‌شود.

۵. نتیجه‌گیری

با تمرکز بر رفتار عمومی سیستم‌های غلتی دریافت شد که متناظر با تقارن‌های موجود در معادلات حاکم بر مسئله، ثابت‌های حرکتی برقرارند. از آنجا که نیروی قیدی کاری انجام نمی‌دهد، برای حالت کلی توزیع جرم یک کره غلتان پایستگی ارزی برقرار است که در صورت وجود تقارن‌های دیگر همچون تقارن محوری در توزیع جرم، دو ثابت انتگرالی دیگر تشکیل خواهد شد. پایداری مسیرهای بسته (همچون وضعیت‌های تعادل نسبی، چرخه‌های حدی) در سیستم‌های دینامیکی دارای تقارن را می‌توان با تحلیل ارزی پتانسیل مؤثر سیستم مورد بررسی قرار داد. در قسمت اول این تحقیق، ربات کروی از منظور پایداری حرکت غلتی در قرار گرفت. شباهت دینامیکی سیستم با نمونه‌ی معلم فضایی امکان جالبی برای تحلیل پایداری با بهره از نظریه‌های جاافتاده درمورد پایداری اجسام آزاد فراهم می‌آورد. طبق قیاس مذکور، چرخش کره حول محور اصلی میانی اینرسی ناپایدار شناخته می‌شود که کره را دچار وارونگی حین چرخش می‌کند. این روند متناوباً تکرار می‌شود. مطالعه‌ی دوشاخگی حرکت کره غلتان مجهر به چرخ ژیرو داخلی تغییری در ماهیت نقاط تعادلی بر حسب سرعت زاویه‌ی را نشان می‌دهد که می‌تواند به پایداری مجموعه کمک کند. در آخر، امکان طرح ریزی حرکت ربات در فضای مفاصل، و نیز عملکرد آن روی یک سطح شیب دار بررسی شد.

بدین ترتیب مطابق این قانون پایدارکننده، ژیروهای داخلی به نحوی به چرخش درمی‌آیند که محور دوران به بکی از محورهای کمینه یا بیشینه‌ی اینرسی جسم بدل گردد و حرکت پایدار ممکن شود.

۱.۴. طرح ریزی حرکت در فضای مفاصل یا کنترل مدار باز

در این بخش حرکت در فضای مفاصل برای رساندن کره غلتان از وضعیت اولیه سکون به موقعیت مکانی و زاویه‌ی بی مورد نظر ظرف زمان معین طراحی می‌شود. چنان که بیان شد، سیستم با تعداد دست کم ۲ روتور کنترل پذیر است.^[۱۰]

ابتدا باید به این امر توجه داشت که صرف نظر از حرکت مورد نظر، طول مسیرهای طی شده توسط نقطه‌ی تماس بر سطح کره و نقطه‌ی تماس بر سطح زمین یکسان است. بنابراین مسئله‌ی تعقیب مسیر را می‌توان به انطباق دو منحنی با طول یکسان واقع بر سطح ایزومتریک سطح کره و سطح زمین خلاصه کرد. مسیر هموار نقطه‌ی تماس در صفحه با (s) بر حسب طول s پارامتریزه شده و مسیر متاظه‌ری روی سطح کره به شعاع r توسط $r(s) = r \cdot \Gamma(s)$ معین می‌شود. طبق آنچه از پایستگی تکانه‌ی زاویه‌ی بی سیستم حول نقطه‌ی تماس حاصل شد:

$$-J_{rot} \dot{\varphi} = \left(J_{lock} + mr^* Id \right) \Omega - mr^* (\Omega, \Gamma) \Gamma \quad (42)$$

$\langle \Omega, \Gamma \rangle = \Omega \cdot \Gamma$ مؤلفه‌ی قائم سرعت زاویه‌ی بی است. با ضرب خارجی معادله‌ی $\dot{\Gamma} = \Gamma \times \Omega$ در Γ بردار سرعت زاویه‌ی استخراج می‌شود:

$$\Omega = \dot{\Gamma} \times \Gamma + \Omega_\Gamma \Gamma \quad (43)$$

که با جایگذاری در رابطه‌ی ۴۲ خواهیم داشت:

$$J_{rot} \dot{\varphi} = - \left(J_{lock} + mr^* Id \right) (\dot{\Gamma} \times \Gamma) - \Omega_\Gamma J_{lock} \Gamma \quad (44)$$

بدین ترتیب، عبارت‌ها بر حسب (s) بیان شده‌اند. برای یافتن Ω_Γ می‌توان از اختلاف انحنای دو منحنی مسیر نقطه‌ی تماس در نقاط متاظه‌ری روی دو سطح استفاده کرد.^[۱۱]

$$\kappa_p = \kappa_b + \frac{1}{s} \Omega_\Gamma \quad (45)$$

انحنای منحنی صفحه‌ی و انحنای ژودزیک منحنی واقع بر سطح کره است. هرگاه سطح تماس نقطه‌ی بی نباشد ممکن است آزادی چرخش درجای کره سلب شود که

منابع (References)

- Karimpour, H., Keshmiri, M. and Mahzoon, M. "Stabilization of an autonomous rolling sphere navigating in a labyrinth arena: A geometric mechanics perspective", *Systems & Control Letters*, **61**(4), pp. 495-505 (2012).
- Lynch, P. and Bustamante, M. "Precession and recession of the rock'n'roller", *Journal of Physics A: Mathematical and Theoretical*, **42**(42), pp. 1-25 (2009).
- Borisov, A.V. and Mamaev, I.S. "Rolling motion of a rigid body on a plane and a sphere", *Regular and Chaotic Dynamics*, **7**(2), pp. 177-200 (2007).
- Borisov, A.V., Kilin, A.A. and Mamaev, I.S. "How to control Chaplygin's sphere using rotors", *Regular and Chaotic Dynamics*, **17**(3-4), pp. 258-272 (2012).
- Mukherjee, R., Minor, M.A. and Pukrushpan, J.T., "Motion planning for a spherical mobile robot: revisiting the classical ball-plate problem", *Journal of Dynamic Sys-*

- tems, Measurement, and Control, **124**(4), pp. 502-511 (2002).
6. Karimpour, H., Mahzoon, M. and Keshmiri, M. "Exploring the analogy for adaptive attitude control of a ground-based satellite system", *Nonlinear Dynamics*, **9**(4), pp. 2221-2235 (2012).
7. Karapetyan, A.V. "On construction of the effective potential in singular cases", *Regular and Chaotic Dynamics*, **5**(2), pp. 219-224 (2000).
8. Borisov, A.V. and Mamaev, I.S. "Motion of chaplygin ball on an inclined plane", *Doklady Akademii Nauk*, **406**(5), pp. 620-623 (2006).
9. Koiller, J. and Ehlers, K. "Rubber rolling over a sphere", *Regular and Chaotic Dynamics*, **12**(2), pp. 127-152 (2007).